



33-20-AD-MD-32.- El frente deltaico.



33-20-AD-MD-33.- Canal funcional del río Ebro. Al fondo la Isla de Buda.



33-20-AD-MD-34.- El frente deltaico.



33-20-AD-MD-35.- Frente deltaico funcional N de Isla de Buda.



33-20-AD-MD-36.- Barras del frente deltaico.



33-20-AD-MD-37.- Barras del frente deltaico.



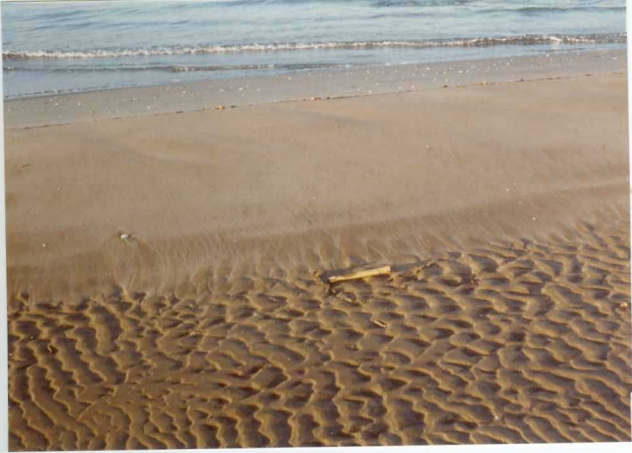
33-20-AD-MD-38.- Dunas erosionadas. Frente deltaico.



33-20-AD-MD-39.- Formación de mud balls en el frente deltaico abandonado.



33-20-AD-MD-40.— Berna de erosión en el frente deltaico abandonado.



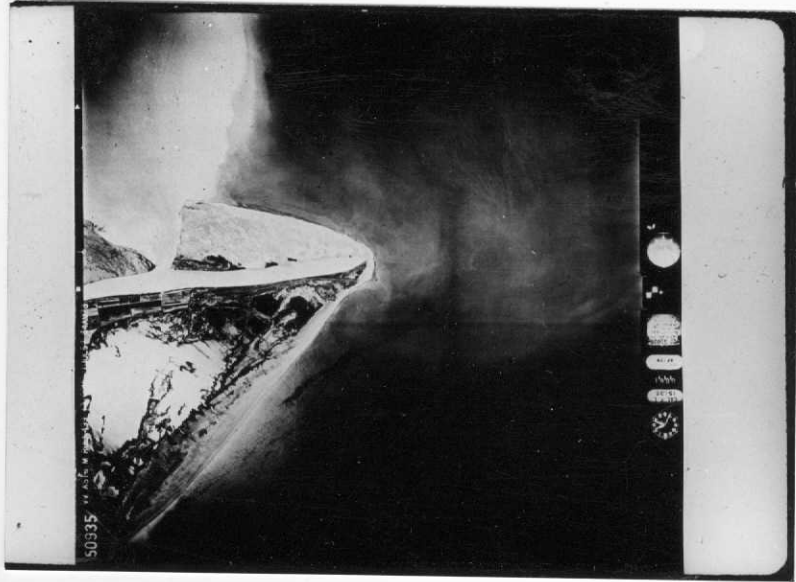
33-20-AD-MD-41.- Ripples de corriente en un pequeño canal.



33-20-AD-MD-42.- Ripples erosionados.



33-20-AD-MD-43.- Foto aérea vertical de la Isla de Buda. Febrero 1946.



33-20-AD-MD-44.- Foto aérea vertical de la Isla de Buda. Julio 1957.



33-20-AD-MD-45.- Foto aérea vertical de la Isla de Buda. Julio
1967.

148



3-20-AD-MD-46.- Foto satélite (ERTS - 1) del delta. 18 Agosto

1972